

建設省土木研究所 正員 須賀亮三

河道特性は河川毎に異なるが、単純な場合は少い。これが、シミュレーションモデルの適用にあたつて問題となる。海水の遡上現象は、河川の形状が水路幅漸変の直線状長方形断面形状から遠ざかるに従い、複雑となる。多くの場合に河川で問題となる現象は、a)混合形態、b)水理量の縦断変化、c)侵入長、およびこれら的时间変化などであるが、これらの基礎となる現象は、d)内部渦、e)平面内の流速分布、およびf)らせん流などの三次元流速分布などである。まれには躍層面の横断変化も考える。これらの現象は、境界条件としての河道特性と水理量などによつて生起する。水理量としては、低水流流量程度を扱うものとし、かつ風浪の影響などを無視しうるものとすれば、月令および潮位曲線が支配的となる。(したがつて、河道特性の影響を考察するに当つても、月令や潮位変動の効果を考慮しておくことが必要である。

河道特性としては、平面特性としてのa)水路幅の変化、b)わん曲、c)河川による蛇行 d)中州の存在、e)合流およびf)分流、縦断特性としてg)河床勾配、h)河床の凹凸、およびi)堰、また横断特性としてj)複断面形状、およびk)みのの発達状況、などに分類される。海水遡上現象に対する以上の事項の効果について、潮位変動の少い日本海側の最上川、阿賀野川、および信濃川、また潮位変動のある太平洋側の長良川および那珂川などの実測資料、ならびに100m水路による不定流実験(潮位のみ変化結果などに基づいて考擧した。今回は、そのなかから、注目すべき現象としてa)後波、b)主要ジャンプ渦、c)複断面水路内の混合、およびd)その他の現象をとりあげる。

a)後波。流路幅変化の影響は成層しているときには二層流の基礎式中の散逸項のオーダー比較を行うことにより重要度が知られるが、無視しないのが一般である。特に、局部的に顕著な狭窄部が存在する場合には、潮位変動に基づく入退潮流量と水位の変化の不定流効果により後波の発生がみられることがある。この後波は内部後波とも呼ばれるべきもので、成層流の内部境界面の高さの急変部があつて、それが伝播する。これは、上流側の断面の水理量にダッシュを付して表現すると、 $(|h_1|-|h_2|)h_2B > |h_1|h_2B'$, ($-C = \sqrt{g(h_2 - h_2')}$)のとき発達し、いったん内部後波の発生をみると、その影響が持続するところに問題がある。急激な潮位上昇によつて後波が発生し、それが上流へ伝播する場合を考えると、ほぼ計算値に近い波速で移動するが、やがて後波の内部境界面形状が変形して波状を呈すようになり、次第にこのような孤立波の数が増大する。この波は、塙水くさびの先端附近で下層水深が小さいところに侵入すると、急速に波高と波速を減少させるが、下層水深がなくなくなるとさらに前進し、結果として塙水くさびの侵入長を大幅に増大せることがある。図-1は、原因は後波のみではないが、先端位置が閉じずに発散している実験例である。河川においても、内部境界面が波状を呈することは長良川や利根川で観測されている。これは成層化の進行とともに顕著なものとなる。図-2は長良川における弱混合状態時の内部境界面形状の時間変化の傾向を示す。内部境界面の波うち傾向は、逆流時に顕著であり、順流時には解消する方向である。このような波状模様が出現する原因として、内部渦、河道縦横断形状の影響、および後波などが考えられる。資料をみると、

波の位置は固定しておらず、図-1 塙水くさび先端位置の変化

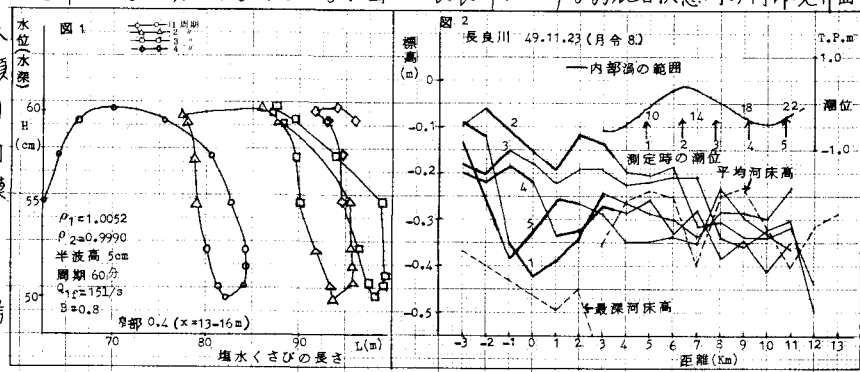


図-2 内部境界面位置の時間変化

初動していよいよ見られること、および内部渦の影響が強ければ引潮時に強く波うつはすであることなどにより、段波現象の存在が示唆される。なお、いわゆる内部渦と呼ばれる現象とは波長や周期のオーダーが異なる。

a) 内部渦。成層化と共に内部渦は次々と発生し、発達移動する。この内部渦は内部界面位置の縦断曲線に変化を与え、渦より下流部では上層濃度を高め、下層では水深方向に深くまで乱れさせる。また、渦より上流部においては、中間層の発達や抵抗係数ならびに連行係数の変化などをもたらす。内部渦では最下流端のものに特に注目するとよい。それは、下流端境界条件と関連し、海水と接する位置にもなるからである。ここでは、内部渦のポンプとしての役割について述べる。はじめに、ひとつの実験例を示す。長さ100m、幅0.8mで底勾配 $i_0 = 0$ の水路において、図-3に示す位置に0.4mの狭窄部を設け、全水深 $h_1 + h_2 = 0.55m$ の定常状態で、密度がそれそれ $\rho_1 = 0.9991$ 、 $\rho_2 = 1.0053$ の淡水と塩水を通水しておくと、上流端における淡水補給量 $Q_{f1} = 17.5 l/s$ および $Q_{f2} = 15.0 l/s$ のとき、塩水くさびの先端位置はそれぞれ22mおよび15mであった。内部界面形状の実験曲線と計算曲線は図-3のようである。計算曲線は通常の場合は非常によく合うのであるが、今回の実験結果では前者では勾配が急であり、後者では上流の方で特にゆるやかになつてゐる。原因は種々検討の結果、狭窄部の下流部に発生する内部渦による下層の圧力上昇作用の結果であると推論された。このとき、下層に対するエネルギー式は、

$$\frac{\partial}{\partial x} (1-\varepsilon) h_1 + \frac{\partial h_2}{\partial x} - \frac{P_0}{\rho_2 g} \frac{\partial u_2}{\partial x} + \frac{U_2}{g} \frac{\partial U_2}{\partial x} + i_{f2} - i_0 = 0 \quad (1)$$

となる。ここに、 P_0 は付加圧力で、 ε は $u_2 > 0$ であるから、 ε 方向(河口方向が正)に圧力上昇が存在するという意味である。 P_0 が正のときは、見掛け上、内部抵抗係数 i_2 が減少したようにみえる。図-3に示すように、 $P_0 = 0$ として計算したものは通常値の $1/6$ ～ $1/4$ であった。内部界面位置を示す表示式($\partial h_2 / \partial x$)は、 $\rho_2 = \text{Const}$ 、 $U_2 = 0$ とすると、

$$\left[\varepsilon (1 - F_1^2) - \frac{P_0}{\rho_2 g} \right] \frac{\partial h_1}{\partial x} = - (i_{f1} - i_{f2}) + \frac{P_0}{\rho_2 g} i_{f1} + \left[1 - (1 - \frac{P_0}{\rho_2 g}) F_1 \right] \varepsilon \frac{E}{U_1} - \frac{P_0}{\rho_2 g} i_0 + (1 - \frac{P_0}{\rho_2 g}) \frac{U_1^2}{g B} \frac{\partial B}{\partial x} = 0 \quad (2)$$

であり、 $P_0 = 0$ とすれば、微少項を省略した定常流の塩水くさびの式と一致する。さて、内部渦内ポンプ作用について前者の実験では $P_0 < 0$ 、後者では $P_0 > 0$ であった。これは、内部渦の下層の水深が小さないと前者のように圧力が減少し、ポンプ作用が最大となる適度の水深があって、その後水深の増大と共に P_0 は0に近づくものと思われる。

c) 横断面水路内の混合。内部界面位置が低水路内に存在すると、その特性が顕著になる。この場合、上層の粗度が高水敷と内部界面とで異り、上層塩水濃度も異なる。長良川における流況観測結果によると横断方向の流れが生じており、逆流時には低水路から高水敷へ、また順流時にはその逆の流れが存在している。このとき、潮流曲線との時差もある。理想的な複断面ではない場合にも、以上のような流れと混合の性質は有しており、これが下層濃度の縦断変化を与える大きな原因となつてゐる。一般に、みおの発達している河道の方が P_0 は大きい。

d) その他。二層流の場合に内部界面の横断勾配は小さく、二次元性が強い。しかし、わん曲部などではかなりその影響は観測資料に現われる。また、中州が存在すると、一般に左右の分岐水路で状態が異り、分流や合流が存在すると一層複雑になる。また、河床の凹凸も内部渦などに関係するようである。

以上、顕著な特異現象をとりあげたが、シミュレーションのときの問題点であろう。特に、内部渦の特性は河道条件によってかなり異なるので、今後の二層の調査研究を必要とする。ここで紹介した現象は、現地観測のときにも、留意すべきと思われる。

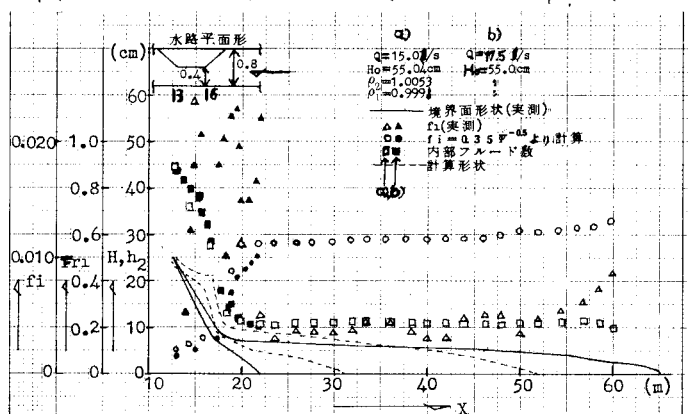


図-3 塩水くさび形状と内部渦のポンプ作用の関係を示す実験例